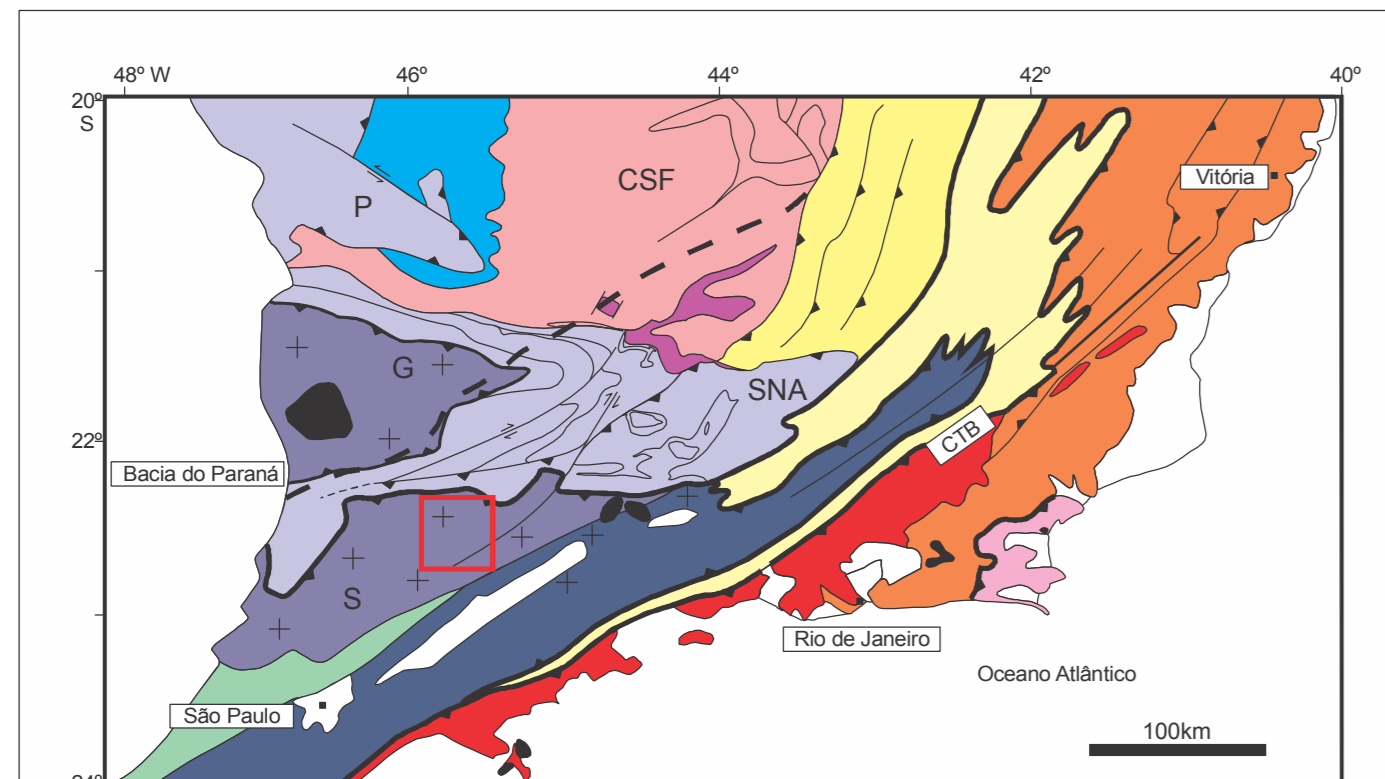
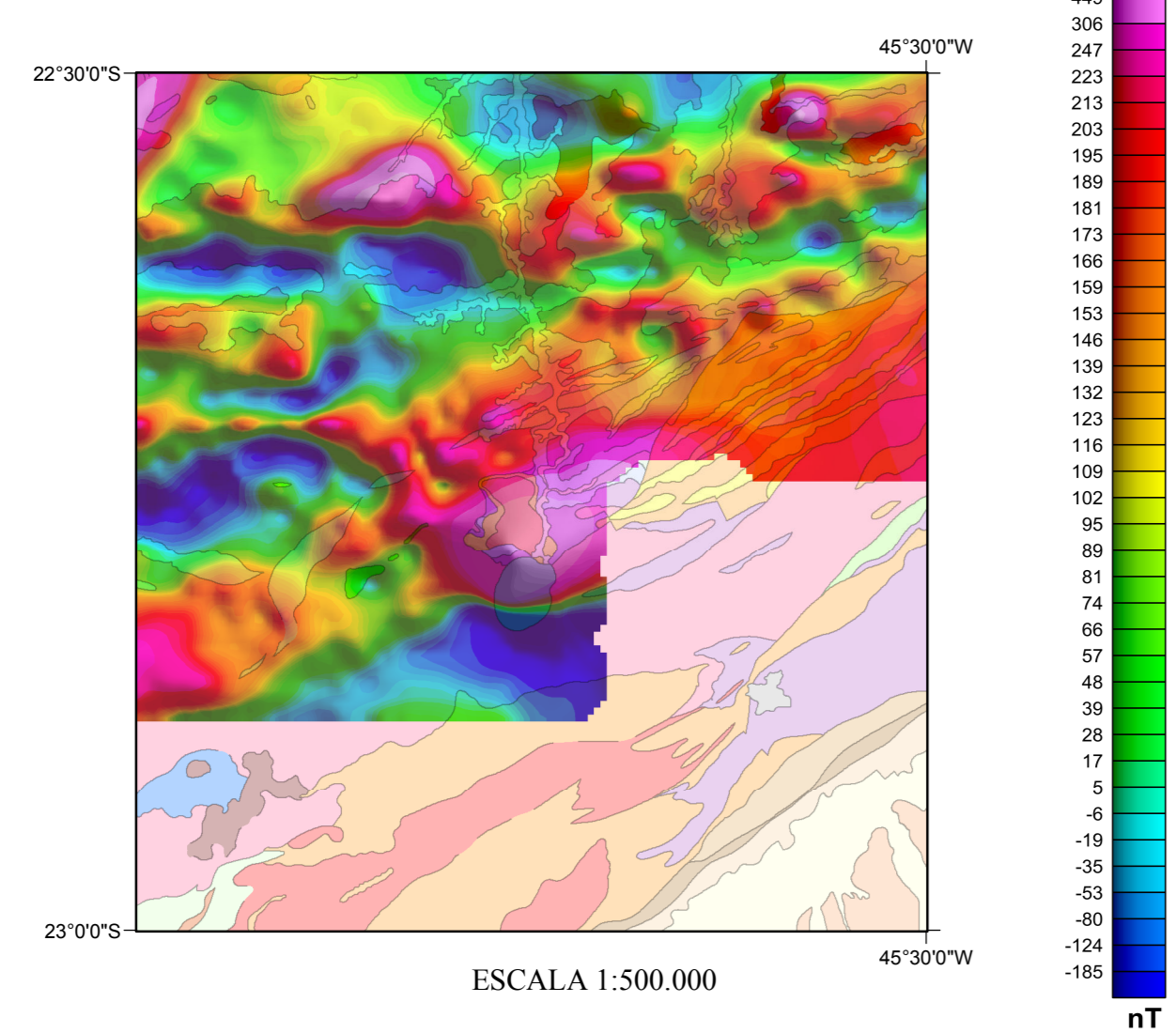


ENCARTE TECTÔNICO

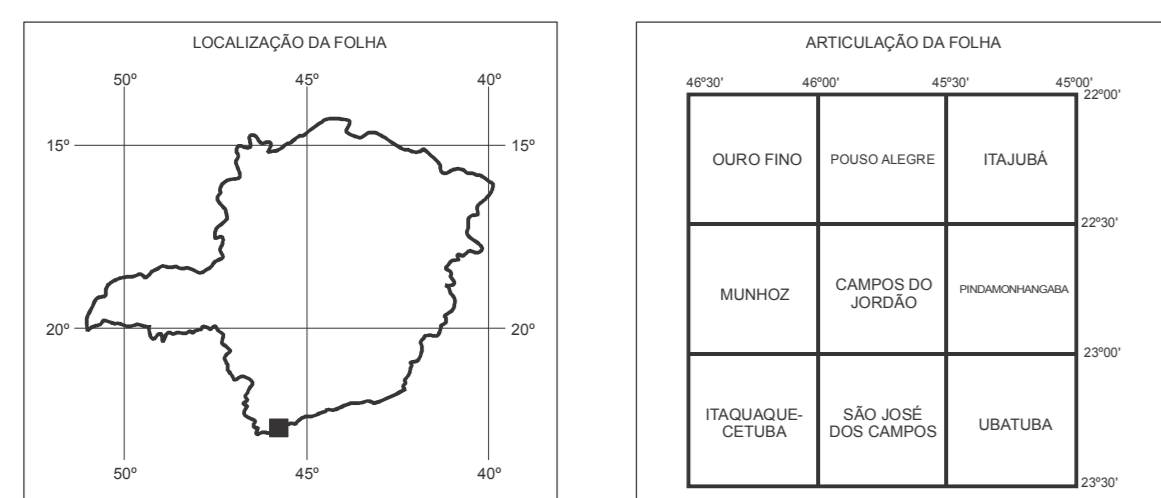
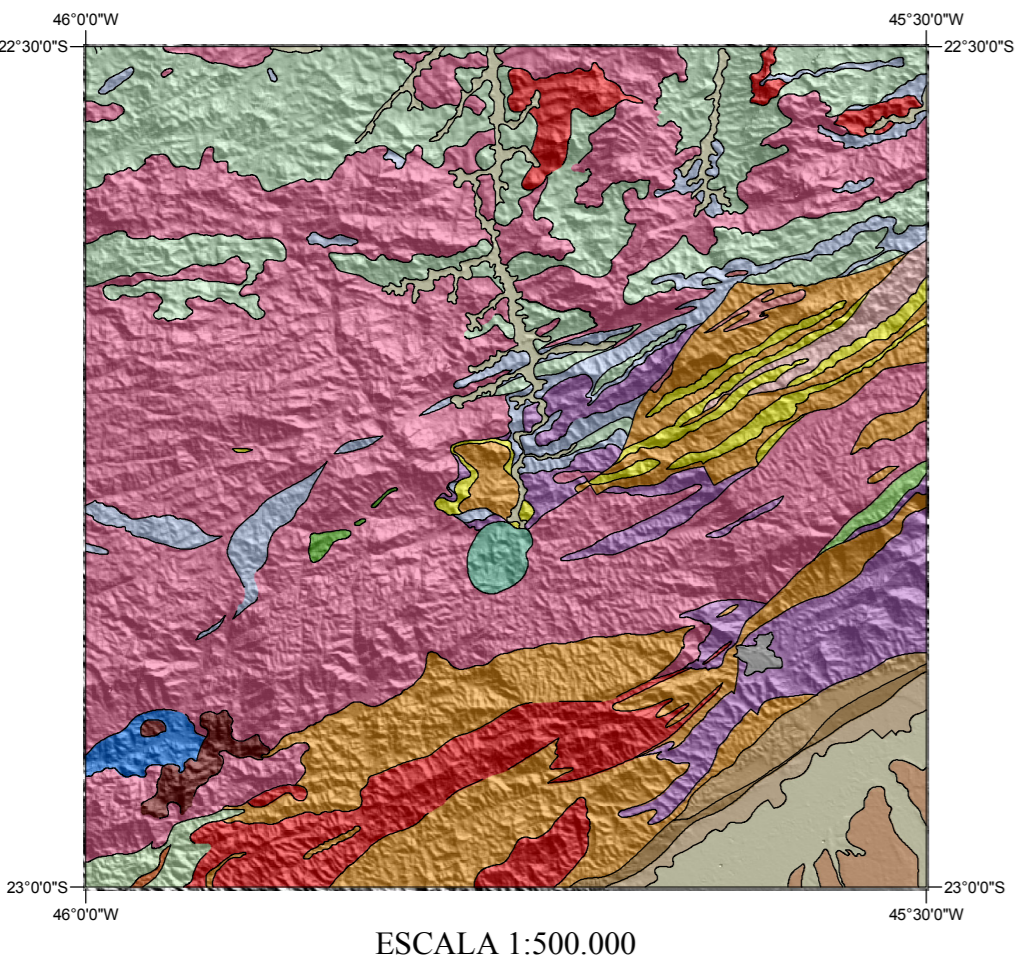


Mapa tectônico da Faixa Brasília meridional e Faixa Ribeira central: 1- bacias sedimentares fanerozoicas; 2- Maciços Alcalinos Cretáceo-Terciário; 3- embasamento e 4- cobertura sedimentar do Craton do São Francisco (CSF); 5- sucessões metassedimentares em domínio autóctone. Faixa Brasília: 6- Nappe Socorro (S) - Guaxupé (G) e 7- Sistema de nappes Passos (P) - Andrelândia (SNA); terrenos: 8- Embú-Paralaíba do Sul e 9- Apiaí. Faixa Ribeira: 10- domínio externo e 11- Domínio Juiz de Fora do Terreno Ocidental. Terreno Oriental: 12- Arco Rio Negro; 13- sucessões metassedimentares Neoproterozoicas; 14- Terreno Cabo Frio. Modificado de Trouw et al., 2011.

FUSÃO DO MAPA MAGNETOMÉTRICO COM A GEOLOGIA

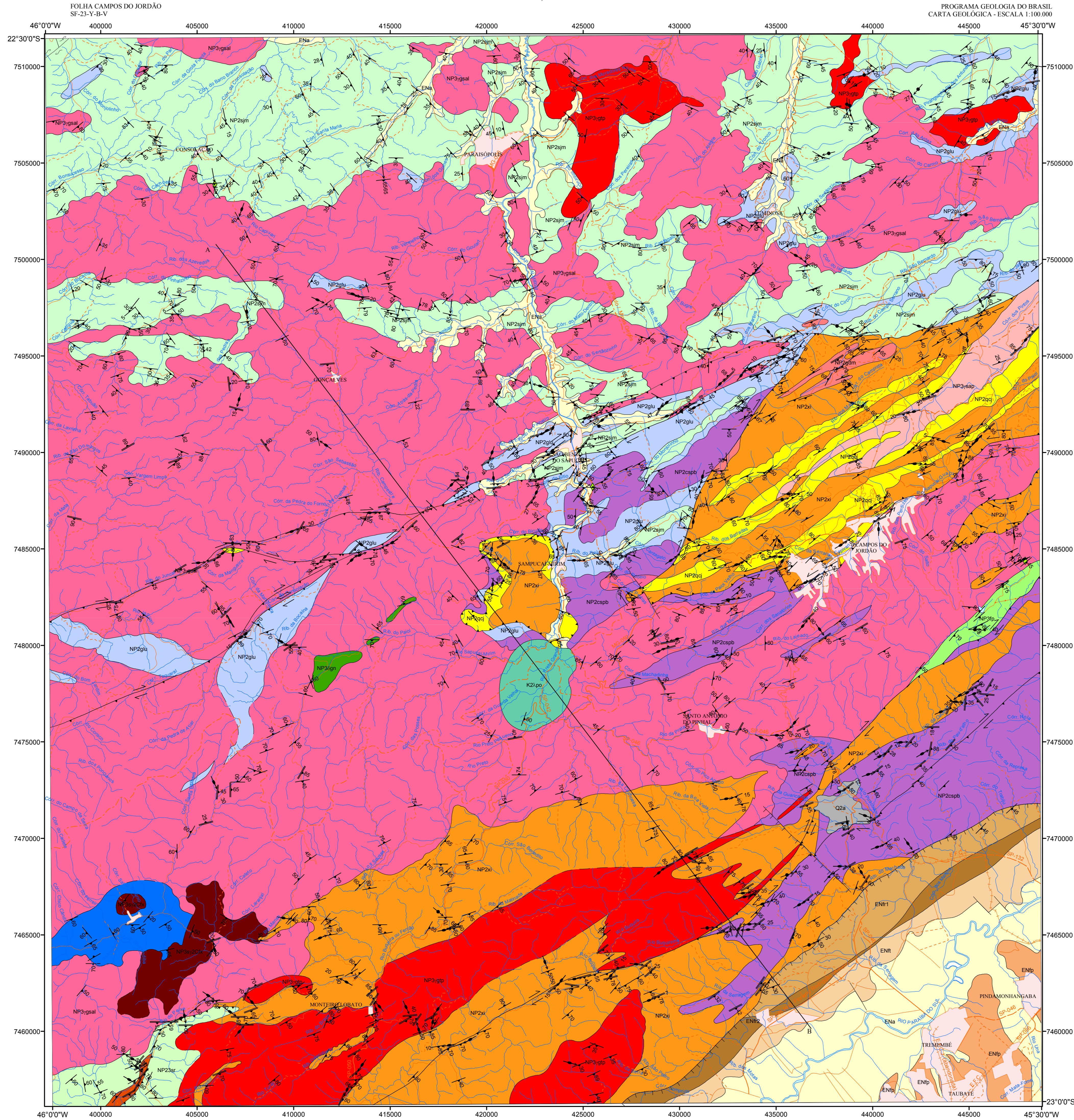


FUSÃO DO MODELO DIGITAL DO TERRENO COM A GEOLOGIA



AUTORIA DO MAPA GEOLÓGICO  
Rodrigo Paterni (Responsável Técnico)  
Rogério Trouw  
Rodrigo Vinagre  
Marcos Fontana  
Rodrigo Correa  
Rodrigo Reis  
Mariana Meireles  
Marcelo Lopes

CREDITO DE EDIÇÃO DA BASE GEOLOGICA DIGITAL  
Dibora Nascimento



LEGENDA DO MAPA GEOLÓGICO

RELAÇÕES TECTONOESTRATIGRAFICAS			
ERA	PERIODO	IDADE (Ma)	UNIDADES
FANEROZOICO	CENOZOICO	Quaternário	COBERTURAS SUPERFICIAIS ENa Qza
		Paleógeno	BACIA DE TAUBATÉ Enp Enf1 Enf2 Enf3
MEZIOZOICO	Cretáceo	65-145	Maciço Alcalino do Cretáceo K2-pc
		542	DOMINIO NAPPE SOCORRO Corpos Intrusivos Neoproterozoicos NP23af NP23am NP23an NP23ap NP23at NP23ax NP23ay NP23az NP23ba NP23bb NP23bc NP23bd NP23be NP23bf NP23bg NP23bh NP23bi NP23bj NP23bk NP23bl NP23bm NP23bn NP23bo NP23bp NP23bq NP23br NP23bs NP23bt NP23bu NP23bv NP23bw NP23bx NP23by NP23bz NP23ca NP23cb NP23cc NP23cd NP23ce NP23cf NP23cg NP23ch NP23ci NP23cj NP23ck NP23cl NP23cm NP23cn NP23co NP23cp NP23cq NP23cr NP23cs NP23ct NP23cu NP23cv NP23cw NP23cx NP23cy NP23cz NP23da NP23db NP23dc NP23dd NP23de NP23df NP23dg NP23dh NP23di NP23dj NP23dk NP23dl NP23dm NP23dn NP23do NP23dp NP23dq NP23dr NP23ds NP23dt NP23du NP23dv NP23dw NP23dx NP23dy NP23dz NP23ea NP23eb NP23ec NP23ed NP23ee NP23ef NP23eg NP23eh NP23ei NP23ej NP23ek NP23el NP23em NP23en NP23eo NP23ep NP23eq NP23er NP23es NP23et NP23eu NP23ev NP23ew NP23ex NP23ey NP23ez NP23fa NP23fb NP23fc NP23fd NP23fe NP23ff NP23fg NP23fh NP23fi NP23fj NP23fk NP23fl NP23fm NP23fn NP23fo NP23fp NP23fq NP23fr NP23fs NP23ft NP23fu NP23fv NP23fw NP23fx NP23fy NP23fz NP23ga NP23gb NP23gc NP23gd NP23ge NP23gf NP23gg NP23gh NP23gi NP23gj NP23gk NP23gl NP23gm NP23gn NP23go NP23gp NP23gq NP23gr NP23gs NP23gt NP23gu NP23gv NP23gw NP23gx NP23gy NP23gz NP23ha NP23hb NP23hc NP23hd NP23he NP23hf NP23hg NP23hh NP23hi NP23hj NP23hk NP23hl NP23hm NP23hn NP23ho NP23hp NP23hq NP23hr NP23hs NP23ht NP23hu NP23hv NP23hw NP23hx NP23hy NP23hz NP23ia NP23ib NP23ic NP23id NP23ie NP23if NP23ig NP23ih NP23ii NP23ij NP23ik NP23il NP23im NP23in NP23io NP23ip NP23iq NP23ir NP23is NP23it NP23iu NP23iv NP23iw NP23ix NP23iy NP23iz NP23ja NP23jb NP23jc NP23jd NP23je NP23jf NP23jg NP23jh NP23ji NP23jj NP23jk NP23jl NP23jm NP23jn NP23jo NP23jp NP23jq NP23jr NP23js NP23jt NP23ju NP23jv NP23jw NP23jx NP23jy NP23jz NP23ka NP23kb NP23kc NP23kd NP23ke NP23kf NP23kg NP23kh NP23ki NP23kj NP23kl NP23km NP23kn NP23ko NP23kp NP23kq NP23kr NP23ks NP23kt NP23ku NP23kv NP23kw NP23kx NP23ky NP23kz NP23la NP23lb NP23lc NP23ld NP23le NP23lf NP23lg NP23lh NP23li NP23lj NP23lk NP23ll NP23lm NP23ln NP23lo NP23lp NP23lq NP23lr NP23ls NP23lt NP23lu NP23lv NP23lw NP23lx NP23ly NP23lz NP23ma NP23mb NP23mc NP23md NP23me NP23mf NP23mg NP23mh NP23mi NP23mj NP23mk NP23ml NP23mn NP23mo NP23mp NP23mq NP23mr NP23ms NP23mt NP23mu NP23mv NP23mw NP23mx NP23my NP23mz NP23na NP23nb NP23nc NP23nd NP23ne NP23nf NP23ng NP23nh NP23ni NP23nj NP23nk NP23nl NP23nm NP23nn NP23no NP23np NP23nq NP23nr NP23ns NP23nt NP23nu NP23nv NP23nw NP23nx NP23ny NP23nz NP23oa NP23ob NP23oc NP23od NP23oe NP23of NP23og NP23oh NP23oi NP23oj NP23ok NP23ol NP23om NP23on NP23oo NP23op NP23oq NP23or NP23os NP23ot NP23ou NP23ov NP23ow NP23ox NP23oy NP23oz NP23pa NP23pb NP23pc NP23pd NP23pe NP23pf NP23pg NP23ph NP23pi NP23pj NP23pk NP23pl NP23pm NP23pn NP23po NP23pp NP23pq NP23pr NP23ps NP23pt NP23pu NP23pv NP23pw NP23px NP23py NP23pz NP23qa NP23qb NP23qc NP23qd NP23qe NP23qf NP23qg NP23qh NP23qi NP23qj NP23qk NP23ql NP23qm NP23qn NP23qo NP23qp NP23qq NP23qr NP23qs NP23qt NP23qu NP23qv NP23qw NP23qx NP23qy NP23qz NP23ra NP23rb NP23rc NP23rd NP23re NP23rf NP23rg NP23rh NP23ri NP23rj NP23rk NP23rl NP23rm NP23rn NP23ro NP23rp NP23rq NP23rr NP23rs NP23rt NP23ru NP23rv NP23rw NP23rx NP23ry NP23rz NP23sa NP23sb NP23sc NP23sd NP23se NP23sf NP23sg NP23sh NP23si NP23sj NP23sk NP23sl NP23sm NP23sn NP23so NP23sp NP23sq NP23sr NP23ss NP23st NP23su NP23sv NP23sw NP23sx NP23sy NP23sz NP23ta NP23tb NP23tc NP23td NP23te NP23tf NP23tg NP23th NP23ti NP23tj NP23tk NP23tl NP23tm NP23tn NP23to NP23tp NP23tq NP23tr NP23ts NP23tt NP23tu NP23tv NP23tw NP23tx NP23ty NP23tz NP23ua NP23ub NP23uc NP23ud NP23ue NP23uf NP23ug NP23uh NP23ui NP23uj NP23uk NP23ul NP23um NP23un NP23uo NP23up NP23uq NP23ur NP23us NP23ut NP23uu NP23uv NP23uw NP23ux NP23uy NP23uz NP23va NP23vb NP23vc NP23vd NP23ve NP23vf NP23vg NP23vh NP23vi NP23vj NP23vk NP23vl NP23vm NP23vn NP23vo NP23vp NP23vq NP23vr NP23vs NP23vt NP23vu NP23vv NP23vw NP23vx NP23vy NP23vz NP23wa NP23wb NP23wc NP23wd NP23we NP23wf NP23wg NP23wh NP23wi NP23wj NP23wk NP23wl NP23wm NP23wn NP23wo NP23wp NP23wq NP23wr NP23ws NP23wt NP23wu NP23wv NP23ww NP23wx NP23wy NP23wz NP23xa NP23xb NP23xc NP23xd NP23xe NP23xf NP23xg NP23xh NP23xi NP23xj NP23xk NP23xl NP23xm NP23xn NP23xo NP23xp NP23xq NP23xr NP23xs NP23xt NP23xu NP23xv NP23xw NP23xx NP23xy NP23xz NP23ya NP23yb NP23yc NP23yd NP23ye NP23yf NP23yg NP23yh NP23yi NP23yj NP23yk NP23yl NP23ym NP23yn NP23yo NP23yp NP23yq NP23yr NP23ys NP23yt NP23yu NP23yv NP23yw NP23yx NP23yy NP23yz NP23za NP23zb NP23zc NP23zd NP23ze NP23zf NP23zg NP23zh NP23zi NP23zj NP23zk NP23zl NP23zm NP23zn NP23zo NP23zp NP23zq NP23zr NP23zs NP23zt NP23zu NP23zv NP23zw NP23zx NP23zy NP23zz
PRE-CAMBRIANO	NEOPROTEROZOICO	Ediacarano	
		850	UNIDADES LITOESTRATIGRAFICAS ENa Depósitos Fluviais: cascalho, areia e lama. Qza Depósitos de blocos, cascalho, areia e lama. Bacia de Taubaté ENp Formação Pedra Bonita: conglomerado, arenito feldspático, siltito e argila interpretado como sistema fluvial meandrante da porção central da Bacia de Taubaté. ENf1 Formação Tembé: argila verde macia, dolomito, riltito de forno e margas interpretado como sistema lacustre. ENf2 Formação Resende 2: arenito feldspático, limto interpretado como sistema de leques aluviais distais a granitos de rios entrelaçados. ENf3 Formação Resende 1: conglomerado polimítico, arenito feldspático e limto arenoso, interpretado como sistema de leques aluviais proximais. Maciço Alcalino do Cretáceo K2-pc Maciço Ponta Nova: dioritos, melanogabro e no topo monzogabro, alcalinos. Corpos Intrusivos Neoproterozoicos NP23af Granito Passagem: megacrítico, equigranular leucocrático a holerocrático, com muscovita, biotita, quartzo e granada. NP23ap Granitóide Rio do Peixe: megacrítico leucocrático. NP23as Granito Serra do Rio da Pedra: biotita plagioclorita localmente porfírico (575 a 584 Ma - U-Pb-LA-ICP-MS). NP23at Gabro Noritico. NP23ay Granito/Chamoqueito São Francisco Xavier: com ortoproxênio, dioróxeno, hornblenda e biotita. Unidades Neoproterozoicas NP22af Formação Pico do Raposa: pelitos, riltitos, arenitos e conglomerados, arenito de riltito na base (624,5 a 171Ma - U-Pb-LA-ICP-MS). NP22ax Grupo São Roque: metapelitos com intercalações de rochas metabásicas e graptólitos. Complexo Embu NP22af Unidade Ilerê: xi-muscovita-biotita-silimanita xisto, localmente com granada, intercalações de quartzitos foliados, rochas calcossilicadas e rochas metatróficas xio-cordierita-biotita-granase. NP22ai Unidade Campos do Jordão: quartzo feldspático, localmente com silimanita, intercalações de muscovita-biotita-silimanita xisto. NP22aj Unidade Duffin Moreira: biotita granase bandado migmatítico com intercalações de quartzito, muscovita-biotita-silimanita xisto, anfibolito e rocha calcossilicada. Nappe Socorro NP22af Granitóide Serra da Água Limpa: quartzo-sienito a quartzo monzo-diorito, composto por quartzo, K-feldspato, plagioclasa, biotita (hornblenda), localmente com orto e dioróxeno; apresenta folias inequigranulares perfoliadas com feldspatos eolíticos e folias equigranulares, com granulometria média a grossa (650-644Ma - U-Pb-LA-ICP-MS). NP22ag Complexo granítico Serra da Pedra do Bai: hornblenda-biotita granase e biotita granase, migmatíticas, intercalações de rochas calcossilicadas, biotita-granada xenogranites (655 a 151Ma - U-Pb-LA-ICP-MS). NP22ah Paragneisse Luminais: silimanita-granada-biotita granase migmatítico, com intercalações de biotita granase, anfibolito, gneíto e rocha calcossilicada. NP22aj O complexo granítico São João da Mata: ortogranites graníticos/gneíto-dioríticos e paragneisses oncofíticas migmatíticas. Pegmatitos e gneíssos graníticos. Lentes de anfibolito (643 a 714, 614a-384a).

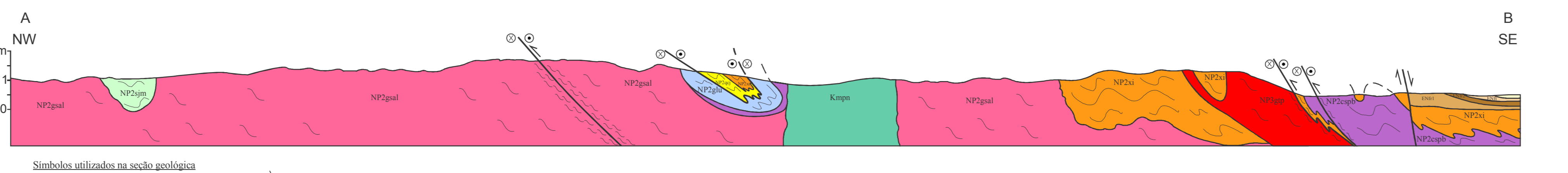
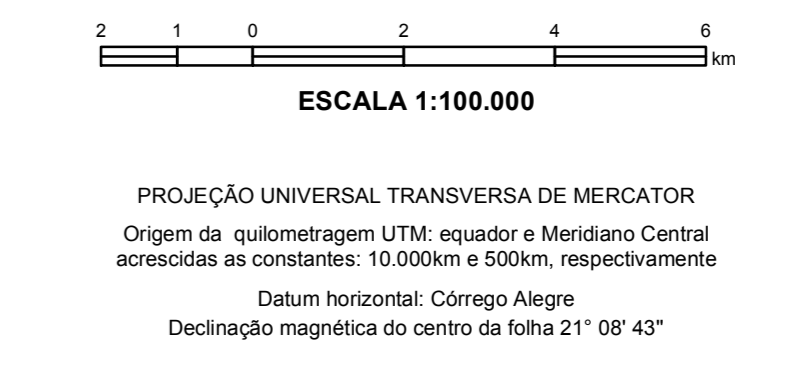
CONVENÇÕES GEOLOGICAS

- Contorno
- Contato inferido
- Folição
- Folição Mionítica
- Linhação de crenulação
- Linhação de estratamento
- Linhação mineral
- Falha de empurrão
- Falha normal subvertical
- Falha indiscriminada
- Zona de cisalhamento transcorrente dextral
- Zona de cisalhamento transpressional sinistral
- Zona de cisalhamento transpressional dextral
- Pontos com georrelatologia
- Seção geológica

CONVENÇÕES CARTOGRAFICAS

- Limite estadual
- Caminho
- Estrada não pavimentada, tráfego periódico
- Estrada não pavimentada, tráfego permanente
- Estrada pavimentada
- Estrada de ferro
- Linha de transmissão
- Barragem
- Cidade/localidade
- Curso d'água
- Lago/Lagoo

MAPA GEOLÓGICO (PRELIMINAR)



- Simbolos utilizados na seção geológica
- Folição metamórfica
  - Folição mionítica
  - Falha de empurrão
  - Zona de cisalhamento transcorrente dextral
  - Zona de cisalhamento transcorrente sinistral
  - Falha normal